

Напряженное состояние в диффузионной зоне (20), обусловленное концентрационными полями, соответственно представится в таком виде:

$$\sigma_{rr} = G \frac{1+\nu}{1-\nu} \left\{ \Pi(1, t) - F(1, t) - \Pi(r, t) + F(r, t) + F(\rho) \left[\rho^2(t) - \frac{\rho^2(t)}{r^2} \right] \right\},$$

$$\sigma_{\varphi\varphi} = G \frac{1+\nu}{1-\nu} \left\{ \Pi(1, t) - F(1, t) - \Pi(r, t) - F(r, t) + F(\rho) \left[\rho^2(t) + \frac{\rho^2(t)}{r^2} \right] \right\}.$$

Здесь введены следующие обозначения:

$$\Pi(r, t) = \sum_{j=1}^2 \gamma_j^2 \frac{g_j \rho_j}{1-\lambda_j} \exp\left(-\frac{\gamma_j^2}{4M_j}\right) \left[Ei \frac{r^2}{4M_j(t_0-t)} - Ei \frac{\gamma_j^2}{4M_j} \right];$$

$$F(r, t) = \sum_{j=1}^2 g_j \frac{4M_j(t_0-t)}{r^2} \exp\left[-\frac{r^2}{4M_j(t_0-t)}\right];$$

$$\Pi(r, t)|_{r=1} = \Pi(1, t); \quad F(r, t)|_{r=1} = F(1, t); \quad F(r, t)|_{r=\rho(t)} = F(\rho);$$

$$g_1 = \mu \beta_2^{\sigma, T} - \beta_1^{\sigma, T}; \quad g_2 = \lambda \beta_1^{\sigma, T} - \beta_2^{\sigma, T}.$$

Настоящее рассмотрение основано на предположении об упругом поведении материалов при повышенных температурах. Поэтому расчетные значения напряжений, найденные в рамках упругой модели, могут быть выше тех, которые, видимо, реализуются в действительности. Однако полученные расчетные формулы позволяют выяснить влияние некоторых параметров, характеризующих напряженное состояние цилиндра, возникающее в ходе диффузионного насыщения.

ЛИТЕРАТУРА

1. Бескоровайный Н. М. и др.— В кн.: *Металлургия и металловедение чистых металлов*, 8. Атомиздат, М., 1969, 189.
2. Лебедев Н. Н. Температурные напряжения в теории упругости. ОНТИ, М., 1937.
3. Любов Б. Я. Кинетическая теория фазовых превращений. *Металлургиздат*, М., 1969.
4. Одинг Г. А.— *Металловедение и термическая обработка металлов*, 1966, 11, 5.
5. Подстригач Я. С., Павлина В. С.— *ФХММ*, 1965, 5, 383.
6. Подстригач Я. С., Швеиц Р. Н., Павлина В. С.— *Прикладная механика*, 1971, 7, 12, 11.
7. Темкин Д. Е.— *ИФЖ*, 1962, 5, 4, 91.
8. Щербединский Г. В.— В кн.: *Защитные покрытия на металлах*, 6. «Наукова думка», К., 1972, 38.
9. Щербединский Г. В., Кондраченко Л. А.— *Физика металлов и металловедение*, 1972, 33, 3, 487.

Львовский филиал математической
физики Института математики АН УССР

Поступила в редколлегию
в октябре 1973 г.

ИССЛЕДОВАНИЕ ГАРМОНИЧЕСКИХ ВОЛН В ТЕРМОУПРУГИХ СРЕДАХ С УЧЕТОМ КОНЕЧНОЙ СКОРОСТИ РАСПРОСТРАНЕНИЯ ТЕПЛА

● В. Семерак

Последнее время интенсивное развитие получили исследования динамических связанных задач термоупругости. В частности, наиболее полно разработана теория гармонических плоских волн, изучено распространение сферических и цилиндрических волн в неограниченных телах, распространение термоупругих волн Рэлея и др. Этим вопросам посвящены работы [1, 2]. В этих работах для описания движения волны использовалась система дифференциальных уравнений взаимосвязанной задачи термоупругости, в которую входит уравнение теплопроводности параболического типа,

выведенное на основе предположения о бесконечно большой скорости распространения тепла.

В данной работе исследуются плоские, сферические и цилиндрические гармонические волны в термоупругих изотропных средах с использованием уравнения теплопроводности гиперболического типа, учитывающего конечную скорость распространения тепла [3, 4].

1. Плоские гармонические волны в пространстве. Пусть в неограниченном пространстве в направлении оси x движется плоская волна, изменяющаяся во времени по гармоническому закону. Тогда в данный момент времени на произвольной плоскости, перпендикулярной к оси x , перемещения и температура постоянны. Следовательно, u, v, w, t — функции переменной x и времени τ . В этом случае система уравнений термоупругости принимает вид [1, 3]

$$\left. \begin{aligned} \frac{\partial^2 u}{\partial x^2} - \frac{1}{c_1^2} \cdot \frac{\partial^2 u}{\partial \tau^2} &= m \frac{\partial t}{\partial x}, \quad \frac{\partial^2 t}{\partial x^2} - \frac{1}{a} \cdot \frac{\partial t}{\partial \tau} - \frac{1}{c_q^2} \cdot \frac{\partial^2 t}{\partial \tau^2} = \eta l \frac{\partial^2 u}{\partial x \partial \tau}, \\ \frac{\partial^2 v}{\partial x^2} - \frac{1}{c_1^2} \cdot \frac{\partial^2 v}{\partial \tau^2} &= 0, \quad \frac{\partial^2 w}{\partial x^2} - \frac{1}{c_2^2} \cdot \frac{\partial^2 w}{\partial \tau^2} = 0, \end{aligned} \right\} \quad (1)$$

где

$$c_1 = \sqrt{(\lambda_t + 2\mu_t)/\rho}; \quad c_2 = \sqrt{\mu_t/\rho}; \quad c_q = \sqrt{\frac{a}{\tau_r}}; \quad m = \frac{3\lambda_t + 2\mu_t}{\lambda_t + 2\mu_t};$$

$$\eta = \frac{3\lambda_t + 2\mu_t}{\lambda} t_0 \alpha_t; \quad l = 1 + \tau_r \frac{\partial}{\partial \tau};$$

c_1, c_2, c_q — скорости распространения продольной, поперечной волн и тепла; λ_t, μ_t — постоянные Ляме, соответствующие изотермическому состоянию; α_t — температурный коэффициент линейного расширения; λ, a — коэффициенты теплопроводности и температуропроводности; t_0 — температура тепла в недеформированном и ненапряженном состоянии; τ_r — время релаксации теплового потока; ρ — плотность.

Решение уравнений системы термоупругости ищем в виде

$$\Omega = \operatorname{Re} [\Omega^*(x, \omega) \exp(-i\omega\tau)] \quad (\Omega = u, v, w, t), \quad (2)$$

где ω — частота.

Подставляя выражения (2) в (1), получаем следующую систему обыкновенных дифференциальных уравнений для амплитуд перемещений и температуры:

$$\left. \begin{aligned} \frac{\partial^2 u^*}{\partial x^2} + \alpha_\omega^2 u^* &= m \frac{\partial t^*}{\partial x}, \quad \frac{\partial^2 t^*}{\partial x^2} + (q_\omega + \gamma_\omega^2) t^* = i a \eta q_\omega \frac{\partial u^*}{\partial x}, \\ \frac{\partial^2 v^*}{\partial x^2} + \alpha_\omega^2 v^* &= 0, \quad \frac{\partial^2 w^*}{\partial x^2} + \beta_\omega^2 w^* = 0, \end{aligned} \right\} \quad (3)$$

где

$$\alpha_\omega = \frac{\omega}{c_1}, \quad \beta_\omega = \frac{\omega}{c_2}, \quad \gamma_\omega = \frac{\omega}{c_q}, \quad q_\omega = \frac{i\omega}{a}.$$

Для термоупругой среды решение первых двух уравнений запишется в виде

$$\left. \begin{aligned} u &= u_+^0 \exp(-i\omega\tau + ih_1x) + u_-^0 \exp(-i\omega\tau - ih_1x) + \\ &+ \frac{imh_2}{\alpha_\omega^2 - h_2^2} [t_+^0 \exp(-i\omega\tau + ih_2x) - t_-^0 \exp(-i\omega\tau - ih_2x)], \\ t &= t_+^0 \exp(-i\omega\tau + ih_2x) + t_-^0 \exp(-i\omega\tau - ih_2x) + \\ &+ \frac{ia\eta h_1 (q_\omega + \gamma_\omega^2)}{h_1^2 - q_\omega - \gamma_\omega^2} [u_+^0 \exp(-i\omega\tau + ih_1x) - u_-^0 \exp(-i\omega\tau - ih_1x)], \end{aligned} \right\} \quad (4)$$

где $h_{1,2}$ — корни характеристического уравнения

$$h^4 - h^2 [\alpha_\omega^2 + (q_\omega + \gamma_\omega^2)(1 + \varepsilon)] + \alpha_\omega^2 (q_\omega + \gamma_\omega^2) = 0, \quad (5)$$

взятые со знаком «плюс». Здесь $\varepsilon = m\eta a$.

Формулы (4) — это выражения для продольных термоупругих волн, распространяющихся при постоянной частоте в направлениях x и $-x$.

Исследуем корни уравнения (5), приведя его сначала к виду

$$\zeta^4 - \zeta^2 [\chi + \chi (\chi M^2 + i)(1 + \varepsilon)] + \chi^3 (\chi M^2 + i) = 0, \quad (6)$$

где

$$\zeta = \frac{ah}{c_1}, \quad M = \frac{c_1}{c_q}, \quad \chi = \frac{\omega}{\omega^*}, \quad \omega^* = \frac{c_1^2}{a}.$$

Корни уравнения (6) найдем в виде

$$\left. \begin{aligned} \zeta_1 &= \pm \frac{1}{2} \sqrt{\chi} \left\{ [\chi + (\chi M^2 + i)(1 + \varepsilon) + \sqrt{2\chi}(\varphi + i\psi)]^{\frac{1}{2}} + \right. \\ &\quad \left. + [\chi + (\chi M^2 + i)(1 + \varepsilon) - \sqrt{2\chi}(\varphi + i\psi)]^{\frac{1}{2}} \right\}, \\ \zeta_2 &= \pm \frac{1}{2} \sqrt{\chi} \left\{ [\chi + (\chi M^2 + i)(1 + \varepsilon) + \sqrt{2\chi}(\varphi + i\psi)]^{\frac{1}{2}} - \right. \\ &\quad \left. - [\chi + (\chi M^2 + i)(1 + \varepsilon) - \sqrt{2\chi}(\varphi + i\psi)]^{\frac{1}{2}} \right\}, \end{aligned} \right\} \quad (7)$$

где

$$\varphi = (\sqrt{1 + \chi^2 M^4} + \chi M^2)^{\frac{1}{2}}, \quad \psi = (\sqrt{1 + \chi^2 M^4} - \chi M^2)^{\frac{1}{2}}.$$

Разложив выражения (7) по степеням $\frac{1}{\chi}$ и χ , найдем приближенное выражение корней ζ_1 и ζ_2 для граничных случаев $\chi \gg 1$ и $\chi \ll 1$ соответственно.

Для высоких частот имеем

$$\left. \begin{aligned} \zeta_1 &= \chi \sqrt{\frac{H_1}{2}} \left\{ \left[1 + L_1 (nL_1 - 2H_1 L_2) (32n^3 H_1^2 \chi^2)^{-1} + o\left(\frac{1}{\chi^4}\right) \right] + iL_1 \times \right. \\ &\quad \times \left[(4nH_1 \chi)^{-1} + (4kH_1^2 L_2 + nL_1 L_2 H_1 - n^3 L_1^2) (128n^5 H_1^3 \chi^3)^{-1} + \right. \\ &\quad \left. \left. + o\left(\frac{1}{\chi^5}\right) \right] \right\}, \\ \zeta_2 &= \chi \sqrt{\frac{H_2}{2}} \left\{ \left[1 + L_2 (nL_2 + 2H_1 L_1) (32n^3 H_2^2 \chi^2)^{-1} + o\left(\frac{1}{\chi^4}\right) \right] + \right. \\ &\quad \left. + iL_2 \left[(4nH_2 \chi)^{-1} + (4kH_2^2 L_1 + nL_1 L_2 - n^3 L_2^2) (128n^5 H_2^3 \chi^3)^{-1} + o\left(\frac{1}{\chi^5}\right) \right] \right\}, \end{aligned} \right\} \quad (8)$$

где

$$H_{1,2} = m_1 \pm n, \quad L_{1,2} = 2(1 + \varepsilon)n \pm k, \quad m_1 = 1 + M^2(1 + \varepsilon),$$

$$k = 2[\varepsilon - 1 + M^2(1 + \varepsilon)^2], \quad n = [1 - 2M^2(1 - \varepsilon) + M^4(1 + \varepsilon)^2]^{\frac{1}{2}}.$$

Фазовые скорости и коэффициенты затухания в этом случае будут

$$v_i^\infty = \frac{c_1}{H_i} \sqrt{2H_i}, \quad q_i^\infty = \frac{L_i}{8nH_i} \sqrt{2H_i} \frac{\omega^*}{c_1}, \quad i = 1, 2. \quad (9)$$

где $h_{1,2}$ — корни характеристического уравнения

Для низких частот выражения корней уравнения (6) запишутся в виде

$$\left. \begin{aligned} \xi_1 &= \sqrt{\frac{\chi}{2}(1+\varepsilon)} \left\{ \left[1 + \frac{N_1}{8(1+\varepsilon)}\chi + \frac{N_1^2 - 4L_1L_2}{128(1+\varepsilon)^4}\chi^2 + \right. \right. \\ &+ \left. \frac{4(4k+N_1)L_1L_2 - N_1^3}{1024(1+\varepsilon)^6}\chi^3 + o(\chi^4) \right] + i \left[1 - \frac{N_1}{8(1+\varepsilon)^2}\chi + \frac{N_1^2 - 4L_1L_2}{128(1+\varepsilon)^4} \times \right. \\ &\times \left. \chi^2 - \frac{4(4k+N_1)L_1L_2 - N_1^3}{1024(1+\varepsilon)^6}\chi^3 + o(\chi^4) \right] \left. \right\}, \\ \xi_2 &= \frac{\chi}{2} \sqrt{\frac{N_2}{1+\varepsilon}} \left\{ \left[1 + \frac{L_1L_2(L_1L_2 - 8kN_2)}{128(1+\varepsilon)^2N_2^2}\chi^2 + o(\chi^4) \right] + \right. \\ &+ i \left[\frac{L_1L_2}{8(1+\varepsilon)^2N_2}\chi + \frac{L_1L_2[8N_2(kL_1L_2 + L_3N_2) - L_1^2L_2^2]}{1024(1+\varepsilon)^6N_2^3}\chi^2 + o(\chi^5) \right] \left. \right\}, \end{aligned} \right\} \quad (10)$$

где

$$N_{1,2} = 2(1+\varepsilon)m_{1,2} \pm k, \quad L_3 = 4(1+\varepsilon)^2n^2 - 5k^2.$$

Таблица 1

	v_1^∞	v_2^∞	a_1^∞	q_2^∞
$M=0$	$M=1,29$	$M=0$	$M=1,29$	$M=1,29$
∞	$3,314 \cdot 10^3$	$4,360 \cdot 10^3$	$4,445 \cdot 10^3$	$5,825 \cdot 10^3$

Фазовые скорости и коэффициенты затухания имеют вид

$$\begin{aligned} v_1 &= \sqrt{\frac{2\chi}{1+\varepsilon}} \left(1 + \frac{N_1\chi}{8(1+\varepsilon)^2} c_1 \right), \quad q_1 = \sqrt{\frac{\chi}{2}(1+\varepsilon)} \left(1 - \frac{N_1\chi}{8(1+\varepsilon)^2} \right) \frac{\omega^*}{c_1}, \\ v_2 &= 2 \sqrt{\frac{1+\varepsilon}{N_2}} c_1, \quad q_2 = \frac{L_1L_2\sqrt{N_2}\chi^2}{16(1+\varepsilon)^{5/2}N_2} \cdot \frac{\omega^*}{c_1}. \end{aligned} \quad (11)$$

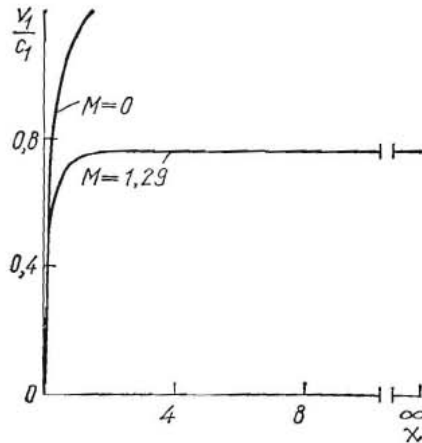


Рис. 1.

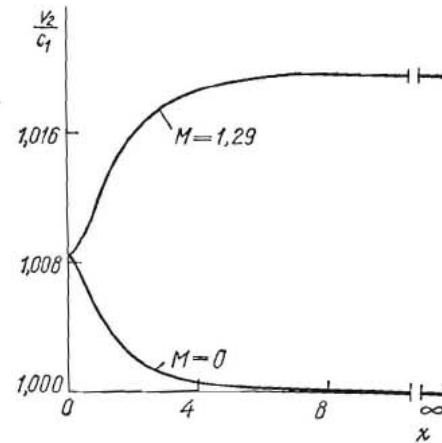


Рис. 2.

В табл. 1 приведены значения фазовых скоростей и коэффициентов затухания в предельном случае для бесконечно больших значений частоты колебания в случае конечной и бесконечно большой скорости распространения тепла в среде из меди ($M = 1,29$).

На рис. 1, 2 приведены графики зависимости величин $\frac{v_1}{c_1}$, $\frac{v_2}{c_1}$ от параметра χ для среды из меди, а на рис. 3, 4 — аналогичные зависимо-

Таблица 2

χ	$\frac{v_1}{c_1}$		$\frac{v_2}{c_1}$		$\frac{q_1}{q_1^\infty}$		$\frac{q_2}{q_2^\infty}$	
	$M=0$	$M=1,29$	$M=0$	$M=1,29$	$M=0$	$M=1,29$	$M=0$	$M=1,29$
0,1	0,4432	0,4080	1,0083	1,0084	0	0,5522	0,0095	0,0055
0,3	0,7669	0,6030	1,0077	1,0089	0	0,8151	0,0798	0,0473
0,5	0,9900	0,6670	1,0068	1,0097	0	0,9133	0,1954	0,1221
0,7	1,1719	0,7113	1,0057	1,0107	0	0,9569	0,3244	0,2161
1,0	1,4024	0,7347	1,0043	1,0123	0	0,9842	0,4987	0,3639
3,0	2,4413	0,7575	1,0008	1,0178	0	1,0009	0,9033	0,8448
10,0	4,4681	0,7600	1,0001	1,0195	0	1,0001	0,9921	0,9840

ти величин $\frac{q_1}{q_1^\infty}$, $\frac{q_2}{q_2^\infty}$. Из графиков видно, что фазовая скорость v_1 меньше c_0 (для меди $\frac{c_0}{c_1} = 0,775$, $(\frac{v_1}{c_1})_{\chi \rightarrow \infty} = 0,761$, $(\frac{v_2}{c_1})_{\chi \rightarrow \infty} = 1,0196$), а v_2 — больше c_1 .

В табл. 2 для сравнения приведены при некоторых χ величины $\frac{v_1}{c_1}$, $\frac{v_2}{c_1}$, $\frac{q_1}{q_1^\infty}$ и $\frac{q_2}{q_2^\infty}$ в случае конечной и бесконечно большой скорости распространения тепла. Как видно, учет конечной скорости распространения

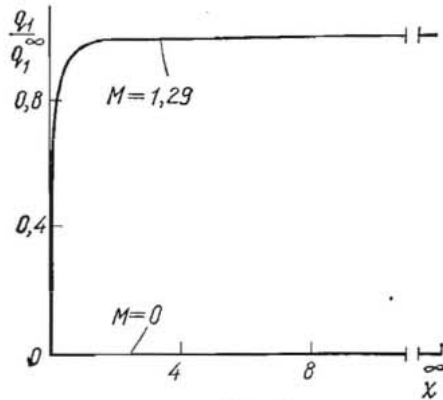


Рис. 3.

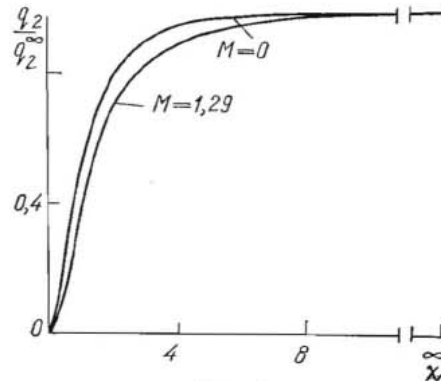


Рис. 4.

тепла приводит к существенным изменениям фазовых скоростей и коэффициентов затухания.

Выражения перемещения и температуры имеют вид

$$\begin{aligned}
 u &= u_+^0 \exp[-\psi_1 f + i(\zeta \xi - \varphi_1 f)] + u_-^0 \exp[-\psi_2 f + i(\zeta \xi - \varphi_2 f)] + \\
 &+ \frac{iam \zeta}{c_1 (\chi_3^2 - \zeta^2)} t_+^0 \exp[-\psi_3 f + i(\zeta \xi - \varphi_3 f)] + \frac{iam \zeta}{c_1 (\chi_4^2 - \zeta^2)} t_-^0 \exp[-\psi_4 f + \\
 &+ i(\zeta \xi - \varphi_4 f)], \\
 t &= t_+^0 \exp[-\psi_3 f + i(\zeta \xi - \varphi_3 f)] + t_-^0 \exp[-\psi_4 f + i(\zeta \xi - \varphi_4 f)] + \\
 &+ \frac{ic_1 \eta \zeta \chi_1 (M^2 \chi_1 + i)}{\zeta^2 - \chi_1 (M^2 \chi_1 + i)} u_+^0 \exp[-\psi_1 f + i(\zeta \xi - \varphi_1 f)] + \frac{ic_1 \eta \zeta \chi_2 (M^2 \chi_2 + i)}{\zeta^2 - \chi_2 (M^2 \chi_2 + i)} \times \\
 &\times u_-^0 \exp[-\psi_2 f + i(\zeta \xi - \varphi_2 f)].
 \end{aligned} \tag{12}$$

Здесь

$$\chi_j = \varphi_j - i\psi_j \quad (j = 1, 2, 3, 4) \tag{13}$$

являются корнями уравнения

$$M^2\chi^4 + i\chi^3 - [1 + M^2(1 + \varepsilon)]\zeta^2\chi^2 - i\zeta^2(1 + \varepsilon)\chi + \zeta^4 = 0, \quad (14)$$

где

$$\begin{aligned} \varphi_{1,2} &= -0,25F \pm \Phi_1(F), \quad \varphi_{3,4} = 0,25F \pm \Phi_1(-F), \\ \psi_{1,2} &= 0,25M^{-2} \pm \Phi_2(F), \quad \psi_{3,4} = 0,25M^{-2} \pm \Phi_2(-F), \end{aligned}$$

$$\Phi_{1,2}(F) = [0,5(\sqrt{d_1^2 + d_2^2} \pm d_1)]^{\frac{1}{2}},$$

$$d_1 = 2^{-4}(F^2 - M^{-4}) - g, \quad d_2 = 0,125FM^{-2} - M^{-2}F^{-1}g - \frac{\zeta^2(1 + \varepsilon)}{F(1 + M^2)},$$

$$F^2 = 8g - M^{-2}(1 - 4\zeta^2[1 + M^2(1 + \varepsilon)]),$$

g — действительный корень уравнения

$$\begin{aligned} 8M^4g^3 + 4M^2\zeta^2[1 + M^2(1 + \varepsilon)]g^2 + 2\zeta^2(1 + \varepsilon - 4M^2\zeta^2)g + \\ + \zeta^4\{1 - 4\zeta^2[1 + M^2(1 + \varepsilon)] + (1 + \varepsilon)\} = 0, \end{aligned}$$

$$\text{а } \xi = \frac{c_1x}{a}.$$

2. Плоские гармонические волны в полупространстве. Рассмотрим полупространство $x > 0$, в котором волны распространяются в направлении оси x . Температура поверхности полупространства изменяется по гармоническому закону

$$t(0, \tau) = \theta_0 \exp(-i\omega\tau) \quad (15)$$

и поверхность $x = 0$ свободна от внешней нагрузки

$$\sigma_{xx}(0, \tau) = 0. \quad (16)$$

В этом случае выражения для перемещения и температуры будут

$$\begin{aligned} u = mt^0 \left[\frac{ih_1\theta_0}{h_1^2 - \alpha_\omega^2} \exp(-i\omega\tau + ih_1x) - \frac{ih_2}{h_2^2 - \alpha_\omega^2} \exp(-i\omega\tau + ih_2x) \right] - \\ - \frac{imh_1\theta_0}{h_1^2 - \alpha_\omega^2} \exp(-i\omega\tau + ih_1x), \\ t = t^0 [\exp(-i\omega\tau + ih_2x) - \exp(-i\omega\tau + ih_1x)] + \\ + \theta_0 \exp(-i\omega\tau + ih_1x), \end{aligned} \quad (17)$$

где

$$t^0 = \frac{\theta_0}{h_1^2 - h_2^2} [h_1^2 - (q_\omega + \gamma_\omega^2)(1 + \varepsilon)].$$

При известных u и t по формулам [1] находим выражения для напряжений в безразмерных величинах

$$\begin{aligned} \sigma_x = (\zeta_1^2 - \zeta_2^2)^{-1} [\zeta_1^2 - \chi(M^2\chi + i)(1 + \varepsilon)] \left[\frac{\chi^2}{\chi^2 - \zeta_1^2} \exp(-i\chi f + i\zeta_1\xi) - \right. \\ \left. - \frac{\chi^2}{\chi^2 - \zeta_2^2} \exp(-i\chi f + i\zeta_2\xi) \right] - \frac{\chi^2}{\chi^2 - \zeta_1^2} \exp(-i\chi f + i\zeta_1\xi), \\ \sigma_y = \sigma_z = (\zeta_1^2 - \zeta_2^2)^{-1} [\zeta_1^2 - \chi(M^2\chi + i)(1 + \varepsilon)] \left[\frac{\chi^2 + \zeta_1^2(\lambda_t^* - 1)}{\chi^2 - \zeta_1^2} \times \right. \\ \left. \times \exp(-i\chi f + i\zeta_1\xi) - \frac{\chi^2 + \zeta_2^2(\lambda_t^* - 1)}{\chi^2 - \zeta_2^2} \exp(-i\chi f + i\zeta_2\xi) \right] - \\ - \frac{\chi^2 + \zeta_1^2(\lambda_t^* - 1)}{\chi^2 - \zeta_1^2} \exp(-i\chi f + i\zeta_1\xi), \end{aligned} \quad (18)$$

где

$$\sigma_i = \frac{\sigma_{ii}}{m\theta_0(2\mu_i + \lambda_i)} \quad (i = x, y, z), \quad \lambda_i^* = \frac{\lambda_i}{2\mu_i + \lambda_i}.$$

Для выяснения влияния частоты на изменение амплитуды напряжений в табл. 3 приведены значения амплитуды напряжений в полуограниченном теле из меди в случае бесконечно большой и конечной скорости распространения тепла для различных значений частоты χ .

3. Сферические волны в пространстве. Исследуем распространение сферических волн в неограниченной термоупругой среде. В этом случае радиальное перемещение u зависит от радиуса $r = \sqrt{x^2 + y^2 + z^2}$ и времени τ . Продольные сферические волны возникают под влиянием ряда возмущений (например, точечных сосредоточенных тепловых источников),

Таблица 3

Безразмерная частота $\chi = \frac{\omega}{\omega^*}$	Значения амплитуды напряжений			
	σ_x^*		$\sigma_y^* = \sigma_z^*$	
	$M=0$	$M=1,29$	$M=0$	$M=1,29$
0,5	0,18	0,17	0,27	0,32
1	0,66	0,35	0,52	0,33
2	0,93	0,73	0,79	0,38
5	1,15	1,52	1,07	0,64
10	1,35	2,17	1,02	0,83
20	1,13	2,02	1,02	0,80
50	1,05	1,92	1,01	0,77
100	1,01	1,87	0,99	0,75

Таблица 4

Безразмерная частота $\chi = \frac{\omega}{\omega^*}$	Значения амплитуды напряжений			
	σ_r^*		$\sigma_\varphi^* = \sigma_\theta^*$	
	$M=0$	$M=1,29$	$M=0$	$M=1,29$
0,5	0,48	0,52	0,48	0,37
1	1,26	1,25	0,90	0,96
2	2,67	2,71	2,28	1,97
5	4,17	6,16	3,98	4,53
10	3,72	8,62	3,75	6,48
20	3,62	9,19	3,59	7,27
50	3,56	9,68	3,53	7,41
100	3,55	9,66	3,53	7,40

а также в неограниченной среде со сферической полостью, на поверхности которой задано воздействие в виде равномерного нагрева, равномерной нагрузки или равномерной деформации.

Для исследования сферических волн имеем систему уравнений [1, 3]

$$\Delta t - \frac{1}{a} \cdot \frac{\partial t}{\partial \tau} - \frac{1}{c_q^2} \cdot \frac{\partial^2 t}{\partial \tau^2} - \eta l \frac{\partial \Phi}{\partial \tau} = 0. \quad (19)$$

$$\Delta \Phi - \frac{1}{c_1^2} \cdot \frac{\partial^2 \Phi}{\partial \tau^2} = mt, \quad (20)$$

где $\Delta = \frac{\partial^2}{\partial r^2} + \frac{2}{r} \cdot \frac{\partial}{\partial r}$ — оператор Лапласа.

Выражения термоупругого потенциала и температуры для неограниченной термоупругой среды имеют вид

$$\left. \begin{aligned} \Phi(r, \tau) &= \frac{1}{r} \left[\Phi^0 \exp(-i\omega\tau + ih_1 r) + \frac{m}{\alpha_\omega^2 - h_2^2} t^0 \exp(-i\omega\tau + ih_2 r) \right], \\ t(r, \tau) &= \frac{1}{r} \left[t^0 \exp(-i\omega\tau + ih_2 r) + \frac{a\eta h_1^2 (q_\omega + \gamma_\omega^2)}{q_\omega + \gamma_\omega^2 - h_1^2} \times \right. \\ &\left. \times \Phi^0 \exp(-i\omega\tau + ih_1 r) \right], \end{aligned} \right\} \quad (21)$$

где

$$h_1^2 + h_2^2 = (q_\omega + \gamma_\omega^2)(1 + \varepsilon) + \alpha_\omega^2, \quad h_1^2 h_2^2 = \alpha_\omega^2 (q_\omega + \gamma_\omega^2).$$

По известной функции Φ определяем перемещения, деформации и напряжения.

Рассмотрим распространение сферических волн в неограниченной термоупругой среде со сферической полостью радиуса R . На границе $r = R$

~~Возникает~~ ~~изменяется~~ по гармоническому закону, поверхность тела свободна от внешней нагрузки, т. е.

$$t(R, \tau) = \theta_0 \exp(-i\omega\tau), \quad \sigma_{rr}(R, \tau) = 0.$$

Термоупругий потенциал и температура запишутся в этом случае так:

$$\left. \begin{aligned} \Phi &= -\frac{mR}{r\kappa} \theta_0 \{n_1 \exp[ih_2(r-R)] - n_2 \exp[ih_1(r-R)]\} \exp(-i\omega\tau), \\ t &= \frac{R}{r\kappa} \theta_0 \{n_1 (h_2^2 - \alpha_\omega^2) \exp[ih_2(r-R)] - n_2 (h_1^2 - \alpha_\omega^2) \times \\ &\times \exp[ih_1(r-R)]\} \exp(-i\omega\tau), \end{aligned} \right\} \quad (22)$$

где

$$\begin{aligned} \kappa &= (h_2^2 - \alpha_\omega^2) n_1 - (h_1^2 - \alpha_\omega^2) n_2, \\ n_{1,2} &= 4\mu_t (1 - ih_{1,2}R) - \rho R^2 \omega^2. \end{aligned}$$

Используя выражение термоупругого потенциала перемещений, получим такие выражения безразмерных температурных напряжений:

$$\left. \begin{aligned} \sigma_r &= \frac{P}{\rho^3 \chi^*} \{n_1^* k_2^* \exp[i\zeta_2(\rho-P)] - n_2^* k_1^* \exp[i\zeta_1(\rho-P)]\} \exp(-i\chi f), \\ \sigma_\varphi = \sigma_\theta &= \frac{P}{\rho^3 \chi^*} \{n_1^* l_2^* \exp[i\zeta_2(\rho-P)] - n_2^* l_1^* \times \\ &\times \exp[i\zeta_1(\rho-P)]\} \exp(-i\chi f), \end{aligned} \right\} \quad (23)$$

где

$$\begin{aligned} \sigma_j &= \frac{\sigma_{jj}}{m\mu_t\theta_0} \quad (j = r, \varphi, \theta); \quad P = \frac{c_1 R}{a}; \quad \rho = \frac{c_1 r}{a}; \\ n_{1,2}^* &= 4(1 - i\zeta_{1,2}P) - \rho^* \chi^2 P^2; \quad \rho^* = \frac{c_1^2 \rho}{\mu_t}; \\ k_{1,2}^* &= 4(i\zeta_{1,2}P - 1) + \rho^* \chi^2 P^2; \\ l_{1,2}^* &= 2(1 - i\zeta_{1,2}P - P^2 \zeta_{1,2}^2) + \rho^* \chi^2 P^2; \\ \chi^2 &= (\zeta_2^2 - \chi^2) n_1^* - (\zeta_1^2 - \chi^2) n_2^*. \end{aligned}$$

В табл. 4 приведены значения амплитуды напряжений в неограниченном теле из меди со сферической полостью в случае конечной и бесконечно большой скорости распространения тепла при некоторых значениях частоты. Анализ результатов показывает, что учет конечной скорости распространения тепла приводит к значительному увеличению амплитуды напряжений при высоких частотах ω .

4. Цилиндрические волны в пространстве. Цилиндрические волны могут возникать под действием линейного источника или же в неограниченной среде с цилиндрической полостью, на поверхности которой заданы равномерно распределенное давление, тепловой поток или деформация.

Пусть перемещение и температура зависят от переменных $r = \sqrt{x^2 + y^2}$ и τ . Термоупругий потенциал перемещения удовлетворяет уравнению [1, 3]

$$\left[\left(\Delta - \frac{1}{c_1^2} \cdot \frac{\partial^2}{\partial \tau^2} \right) \left(\Delta - \frac{1}{a} \cdot \frac{\partial}{\partial \tau} - \frac{1}{c_q^2} \cdot \frac{\partial^2}{\partial \tau^2} \right) - m\eta l \frac{\partial}{\partial \tau} \Delta \right] \Phi = 0, \quad (24)$$

а температура — уравнению

$$\left(\Delta - \frac{1}{c_1^2} \cdot \frac{\partial^2}{\partial \tau^2} \right) \Phi = mt, \quad (25)$$

где

$$\Delta = \frac{\partial^2}{\partial r^2} + \frac{1}{r} \cdot \frac{\partial}{\partial r}.$$

Решение уравнения (24) запишем в виде

$$\Phi = [A_1 H_0^{(1)}(h_1 r) + A_2 H_0^{(1)}(h_2 r)] \exp(-i\omega\tau), \quad (26)$$

где

$$h_1^2 + h_2^2 = (q_\omega + \gamma_\omega^2)(1 + \varepsilon) + \alpha_\omega^2, \quad h_1^2 h_2^2 = \alpha_\omega^2 (q_\omega + \gamma_\omega^2),$$

$H_0^{(1)}(z) = J_0(z) + iY_0(z)$ — функция Ханкеля; $J_0(z)$, $Y_0(z)$ — функции Бесселя первого и второго рода действительного аргумента.

Выражение для температуры получим по формуле (25), т. е.

$$t = \frac{1}{m} [A_1 (\alpha_\omega^2 - h_1^2) H_0^{(1)}(h_1 r) + A_2 (\alpha_\omega^2 - h_2^2) H_0^{(1)}(h_2 r)] \exp(-i\omega\tau). \quad (27)$$

После определения A_i , используя выражение (26) для функции Φ , можно найти перемещения и напряжения.

Рассмотрим бесконечное пространство с цилиндрической полостью радиуса $r = R$. Пусть на краевой поверхности тела $r = R$ задана температура, изменяющаяся во времени по гармоническому закону

$$t(R, \tau) = \theta_0 \exp(-i\omega\tau), \quad (28)$$

причем поверхность $r = R$ свободна от внешней нагрузки, т. е.

$$\sigma_{rr}(R, \tau) = 0.$$

Для термоупругого потенциала и температуры имеем выражения

$$\left. \begin{aligned} \Phi &= \frac{m}{\kappa} \theta_0 [n_2 H_0^{(1)}(h_1 r) - n_1 H_0^{(1)}(h_2 r)] \exp(-i\omega\tau), \\ t &= \frac{2}{\kappa} \theta_0 [n_2 (\alpha_\omega^2 - h_1^2) H_0^{(1)}(h_1 r) - n_1 (\alpha_\omega^2 - h_2^2) H_0^{(1)}(h_2 r)] \exp(-i\omega\tau), \end{aligned} \right\} \quad (29)$$

а для температурных напряжений — такие выражения:

$$\left. \begin{aligned} \sigma_r &= \left\{ \frac{2}{\rho \kappa^*} [n_2^* \xi_1 H_1^{(1)}(\xi_1 \rho) - n_1^* \xi_2 H_1^{(1)}(\xi_2 \rho)] + \right. \\ &\quad \left. + \frac{\gamma^2}{\kappa^*} [n_2^* H_0^{(1)}(\xi_1 \rho) - n_1^* H_0^{(1)}(\xi_2 \rho)] \right\} \exp(-i\omega\tau), \\ \sigma_\varphi &= \left\{ \frac{2}{\kappa^*} [n_2^* \xi_1^2 H_0^{(1)}(\xi_1 \rho) - n_2^* \xi_1 \rho^{-1} H_1^{(1)}(\xi_1 \rho) - n_1^* \xi_2^2 H_0^{(1)}(\xi_2 \rho) + n_1^* \xi_2 \rho^{-1} \times \right. \\ &\quad \left. \times H_1^{(1)}(\xi_2 \rho)] + \frac{\gamma^2 \rho^*}{\kappa^*} [n_2^* H_0^{(1)}(\xi_1 \rho) - n_1^* H_0^{(1)}(\xi_2 \rho)] \right\} \exp(-i\omega\tau), \\ \sigma_z &= \frac{1}{\kappa^*} [n_2^* m_1^* H_0^{(1)}(\xi_1 \rho) - n_1^* m_2^* H_0^{(1)}(\xi_2 \rho)] \exp(i - i\omega\tau), \end{aligned} \right\} \quad (30)$$

где

$$\begin{aligned} n_j &= 2\mu_j h_j H_1^{(1)}(h_j R) - R\rho\omega^2 H_0^{(1)}(h_j R), \quad j = 1, 2, \\ n_j^* &= 2\xi_j H_1^{(1)}(\xi_j P) - P\rho^* \chi^2 H_0^{(1)}(\xi_j P), \\ \kappa^* &= (\chi^2 - \xi_1^2) n_2^* H_0^{(1)}(\xi_1 P) - (\chi^2 - \xi_2^2) n_1^* H_0^{(1)}(\xi_2 P), \\ m_j^* &= 2\xi_j^2 + \chi^2 \rho^*, \quad \kappa = \frac{a\kappa^*}{c_1}. \end{aligned}$$

5. Распространение волны в слое. Пусть в неограниченном термоупругом слое толщиной $2l_1$ в положительном направлении оси y движется плоская гармоническая во времени волна. В случае учета конечной скорости распространения тепла движение волны описывается следующими уравнениями:

$$\left. \begin{aligned} \left(\Delta - \frac{1}{a} \cdot \frac{\partial}{\partial \tau} - \frac{1}{c_q^2} \cdot \frac{\partial^2}{\partial \tau^2} \right) t - \eta l \frac{\partial}{\partial \tau} \Delta \Phi &= 0, \\ \left(\Delta - \frac{1}{c_1^2} \cdot \frac{\partial^2}{\partial \tau^2} \right) \Phi - mt &= 0, \quad \left(\Delta - \frac{1}{c_2^2} \cdot \frac{\partial^2}{\partial \tau^2} \right) \Psi &= 0, \end{aligned} \right\} \quad (31)$$

где

$$\Delta = \frac{\partial^2}{\partial x^2} + \frac{\partial^2}{\partial y^2}.$$

Положив, что

$$\Omega(x, y, \tau) = \Omega^*(x, y) \exp(i\omega\tau) \quad (\Omega = t, \Phi, \psi), \quad (32)$$

систему (31) приведем к следующему виду:

$$\begin{aligned} [\Delta - (q_\omega - \gamma_\omega^2)] t^* + a\eta (q_\omega - \gamma_\omega^2) \Delta \Phi^* &= 0, \\ (\Delta + \alpha_\omega^2) \Phi^* - m t^* &= 0, \quad (\Delta + \beta_\omega^2) \psi^* = 0. \end{aligned} \quad (33)$$

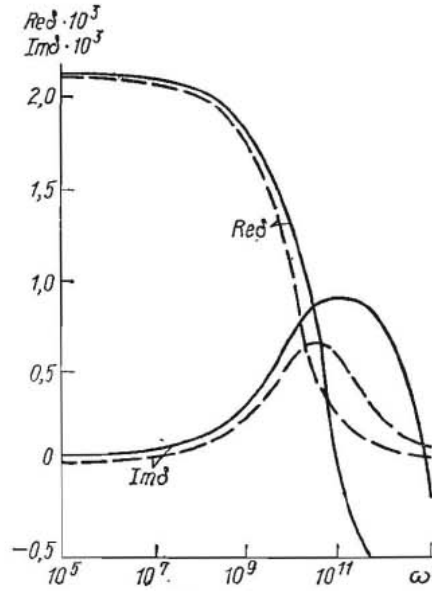


Рис. 5.

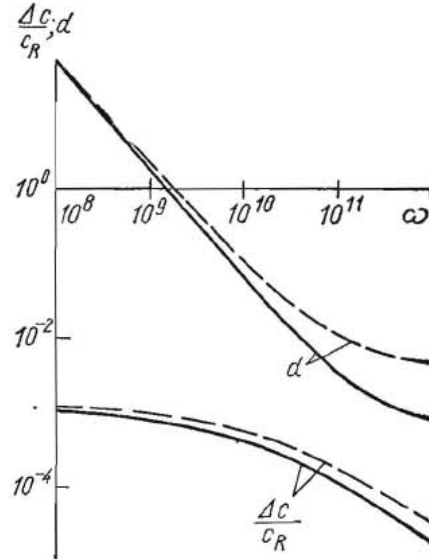


Рис. 6.

В системе (33) исключим t^* из первых двух уравнений, а решение полученной системы возьмем в виде

$$\begin{aligned} \Phi^*(x, y) &= \varphi_1(x) \exp(-i\alpha y), \\ \psi^*(x, y) &= \varphi_2(x) \exp(-i\alpha y). \end{aligned} \quad (34)$$

В результате получим следующую систему дифференциальных уравнений:

$$\begin{aligned} \varphi_1^{IV} - \varphi_1'' [2\alpha^2 + (1 + \varepsilon)(q_\omega - \gamma_\omega^2) - \alpha_\omega^2] + \\ + \varphi_1 [\alpha^4 + \alpha^2(1 + \varepsilon)(q_\omega - \gamma_\omega^2) - \alpha_\omega^2(\alpha^2 - q_\omega + \gamma_\omega^2)] &= 0, \\ \varphi_2'' - (\alpha^2 - \beta_\omega^2) \varphi_2 &= 0. \end{aligned} \quad (35)$$

Решая эту систему, как в работе [1], приходим к следующему выражению:

$$\begin{aligned} \delta = -(\varepsilon\beta_1(i\beta_0 - \beta_q) [\beta_0 + i(\beta_1 - \beta_q)]^2 [1 - 0,5\beta_R(\beta_1 + \beta_q - i\beta_0)] - \\ - [1 + \beta_R(i\beta_0 - \beta_q)]^{\frac{1}{2}} (1 - \beta_1\beta_R)^{\frac{1}{2}}) / \{[(\beta_1 - \beta_q)^2 + \beta_0^2] (1 - \beta_1\beta_R) [0,5\beta_1(1 - \\ - \beta_1\beta_R)^{-1} + 0,5(1 - \beta_R)^{-1} - (1 - 0,5\beta_R)^{-1}]\}^{-1}. \end{aligned} \quad (36)$$

Здесь $\beta_R = \left(\frac{c_R}{c_2}\right)^2$; $\beta_0 = \left(\frac{c_2}{c_0}\right)^2$; $\beta_1 = \left(\frac{c_2}{c_1}\right)^2$; $\beta_q = \left(\frac{c_2}{c_q}\right)^2$; $\beta = \beta_R = \left(\frac{c}{c_2}\right)^2$;
 $c_0 = \sqrt{a\omega}$;

$c = \frac{\omega}{\alpha}$ для действительного значения α , $c = \frac{\omega}{\text{Re } \alpha}$ для комплексного α ;
 c_R — скорость распространения поверхности волн Рэлея; c — фазовая

скорость; δ — прирост величины β , вызванной сопряжением поля температуры и поля деформаций.

Если скорость распространения тепла c_q значительно превышает скорость поперечной волны c_2 , то выражение для δ получаем из (36), положив $\beta_q = 0$.

На рис. 5 представлена зависимость действительной и мнимой частей δ от частоты ω для алюминиевого слоя. Штриховой линией изображены графики зависимости $\text{Re } \delta$ и $\text{Im } \delta$ от ω при $c_q \rightarrow \infty$.

На рис. 6 в логарифмическом масштабе представлена зависимость относительного приращения фазовой скорости $\frac{\Delta c}{c_R} \approx \frac{\delta}{2\beta_R}$ и величины, обратной коэффициенту затухания $\alpha = 2\sqrt{\beta_R^3 l_1 \beta_0} (c_2 \text{Im } \delta)^{-1}$.

Влияние конечной скорости распространения тепла на величину δ , относительное приращение фазовой скорости и коэффициент, обратный затуханию, как видим из графиков, является значительным при высоких частотах ω .

ЛИТЕРАТУРА

1. Новацкий В. Динамические задачи термоупругости. «Мир», М., 1970.
2. Коваленко А. Д.— В кн.: Труды VII Всесоюзной конференции по теории оболочек и пластинок. «Наука», М., 1970.
3. Подстригач Я. С., Коляно Ю. М. Неустановившиеся температурные поля и напряжения в тонких пластинках. «Наукова думка», К., 1972.
4. Семерак Ф. В.— Автореф. канд. дис. Львовский ун-т, Львов, 1973.

Львовский филиал математической физики Института математики АН УССР

Поступила в редколлегию в декабре 1973 г.

ОСЕСИММЕТРИЧНЫЙ ИНДУКЦИОННЫЙ НАГРЕВ ЦИЛИНДРИЧЕСКОЙ ОБОЛОЧКИ

Я. И. Бурак, Л. В. Чернявская

В работе предложена методика определения джоулева тепла, температурных полей и температурных напряжений в цилиндрической оболочке при глубине проникновения индукционных токов, соизмеримой с толщиной оболочки.

1. Пусть длинная цилиндрическая оболочка радиуса R из неферромагнитного материала, отнесенная к цилиндрической системе координат (γ, φ, z) ($-h \leq \gamma \leq h$, $2h$ — толщина оболочки) (рис. 1), находится под влиянием осесимметричного индукционного нагрева. На внешней поверхности задан вектор напряженности электрического поля $\vec{E} = \{0, E, 0\}$, где $E(\gamma, z) = E_0 \cos nz$. Принимается, что глубина проникновения индукционных токов соизмерима с толщиной оболочки.

В области оболочки и вне ее при $r < R - h$ отличные от нуля кольцевые составляющие E и $E^{(0)}$ представим в виде [4]

$$\begin{aligned} E(\gamma, z, \tau) &= F(\gamma) e^{-(k\gamma - i\omega\tau)} \cos nz, \\ E^{(0)}(r, z, \tau) &= E^{(0)}(r) e^{i\omega\tau} \cos nz. \end{aligned} \quad (1)$$

Здесь ω — круговая частота, $k = \frac{k_1 + k_2}{2}$ — средняя кривизна оболочки, k_1, k_2 — главные кривизны срединной поверхности оболочки.

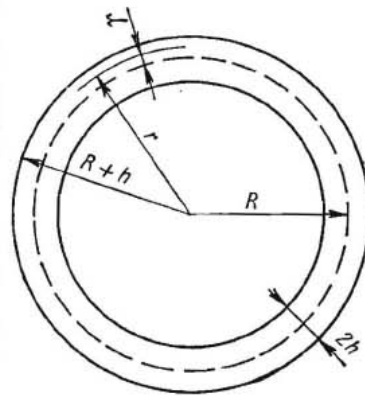


Рис. 1.